



ORKUSTOFNUN

Selected figures from reports prepared by  
the National Energy Authority for the  
Sudurnes Regional Heating Corporation on  
the geothermal fields of Svartsengi and  
Eldvörp

Sverrir Þórhallsson

Greinargerð SP-91-01

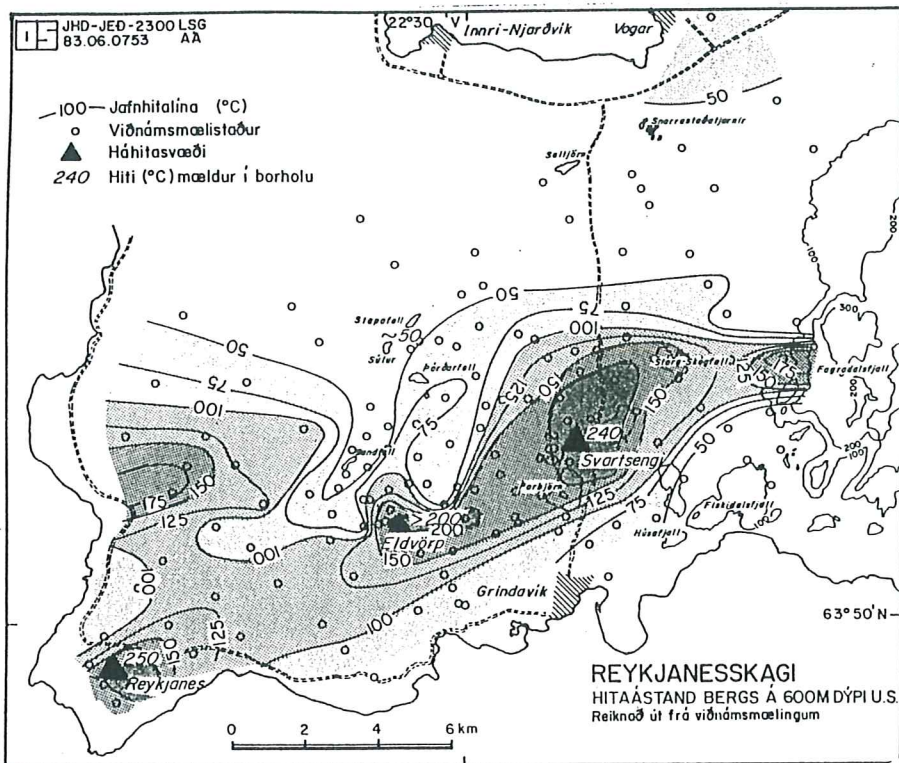


**ORKUSTOFNUN**

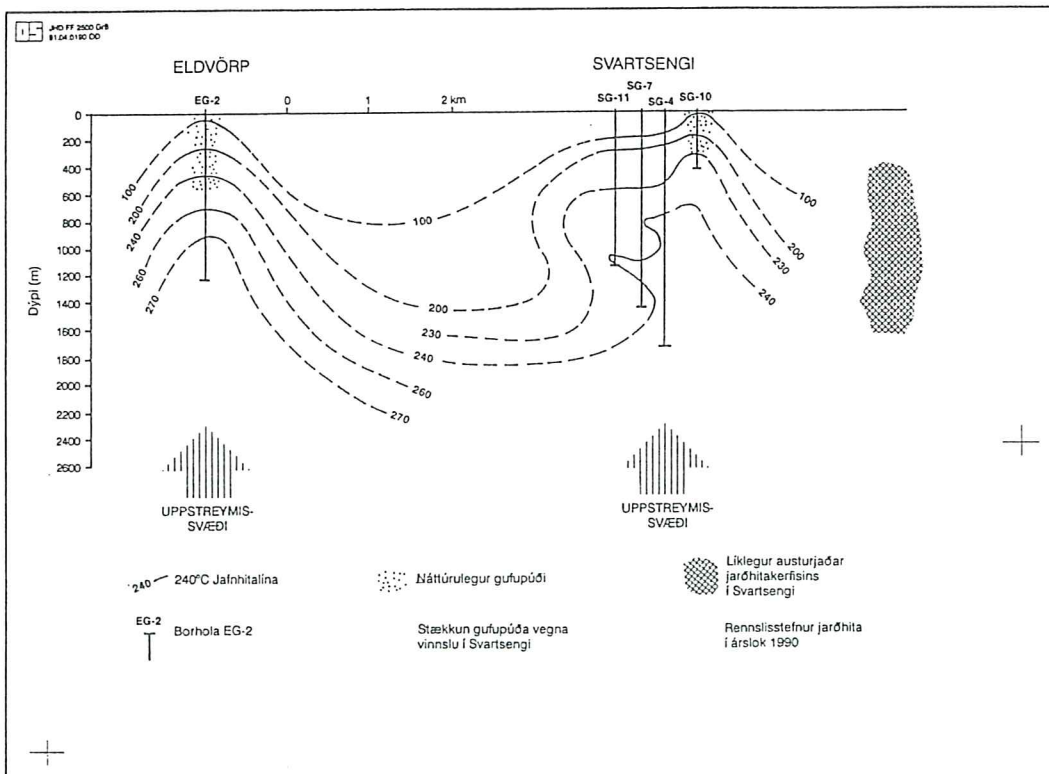
Jarðhitadeild

14. apríl, 1991  
S. Þórh.

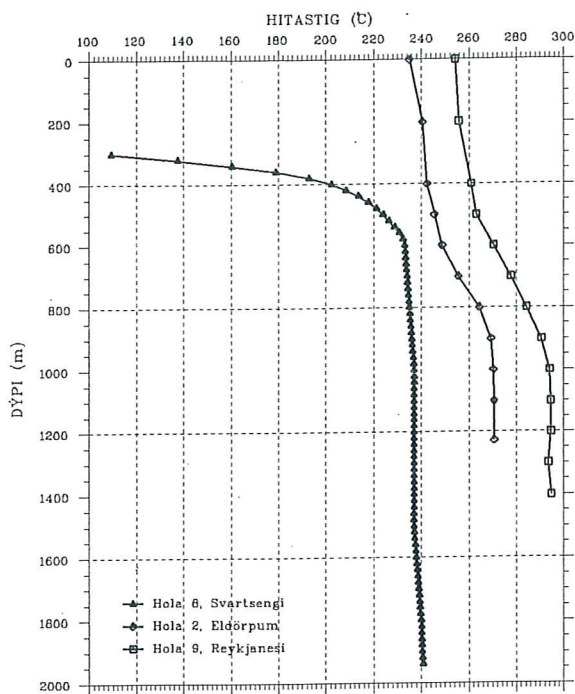
SELECTED FIGURES FROM REPORTS  
PREPARED BY THE NATIONAL ENERGY AUTHORITY  
FOR THE SUDURNES REGIONAL HEATING CORPORATION  
ON THE GEOTHERMAL FIELDS OF SVARTSENGI AND ELDVÖRP



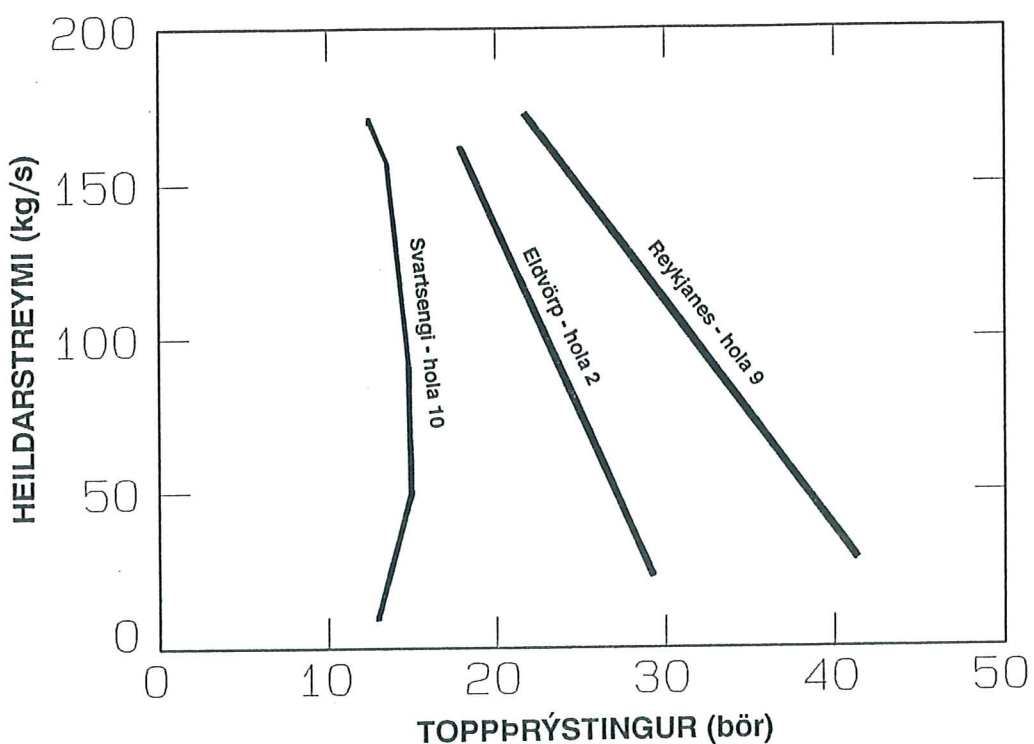
Mynd 1. Hitastig á 600 m dýpi á utanverðum Reykjanesskaga. Háhitasvæðin í Svartsengi, Eldvörpum og á Reykjanesi sjást greinilega sem toppar á undirliggjandi samfelldu svæði.<sup>1)</sup>



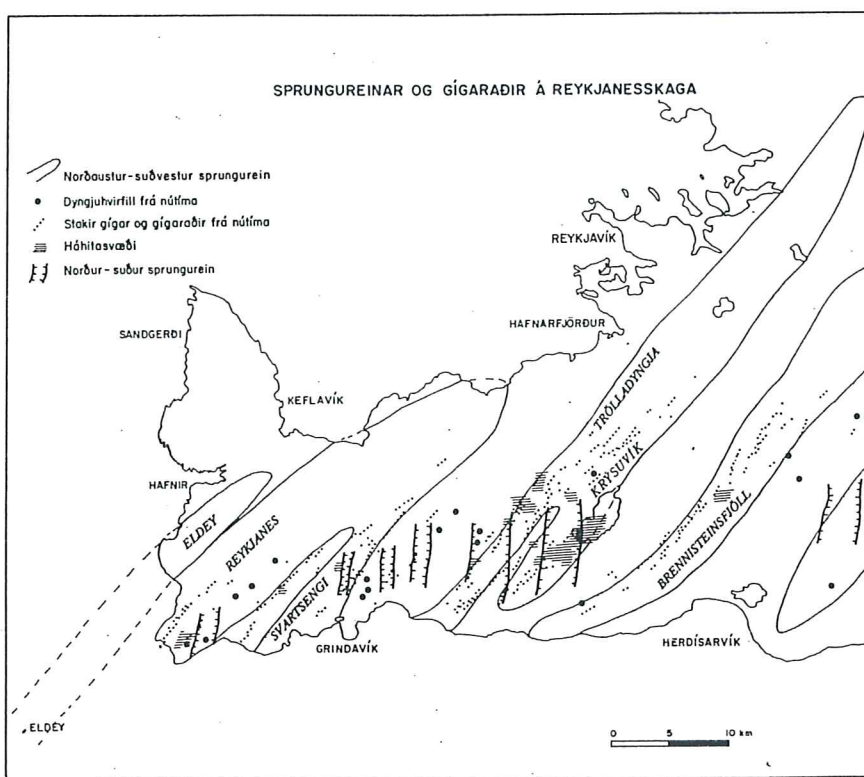
Mynd 2. Þversnið af Reykjanesskaga (Vestur-Austur). Útbreiðsla jarðhitans er eftir skjálftabeltinu og með uppstreymi í Svartsengi og Eldvörpum, en útbreiðslan er takmörkuð til norðurs og suðurs. Niðurdráttur í Svartsengi kemur einnig fram í Eldvörpum vegna samgangs milli svæðanna.<sup>2)</sup>



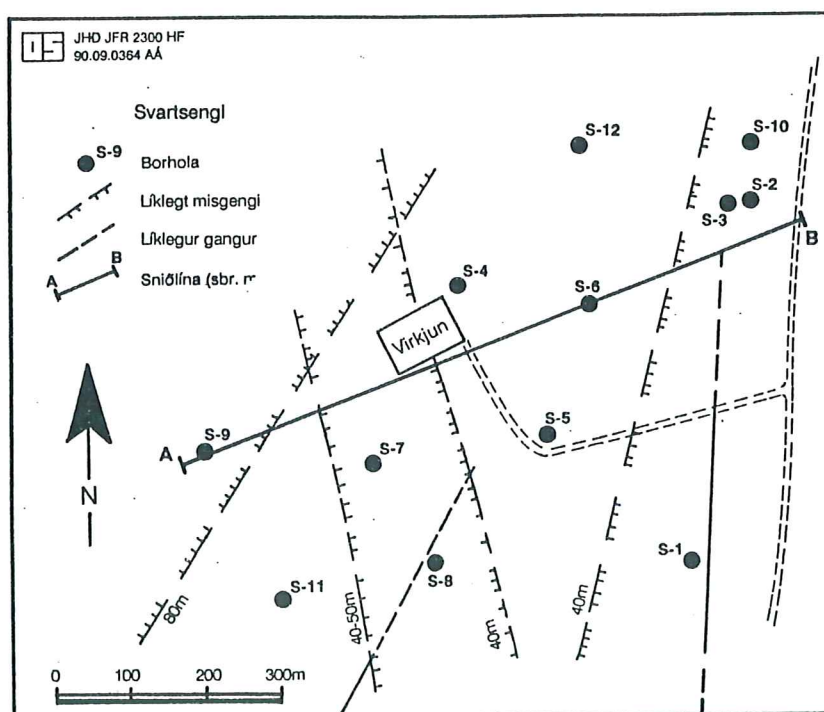
Mynd 3. Hitamælingar í borholum. Hitastig í jarðhitakerfinu í Svartsengi er 240 °C, Eldvörpum 270 °C, Reykjanesi 290 °C.<sup>3)</sup>



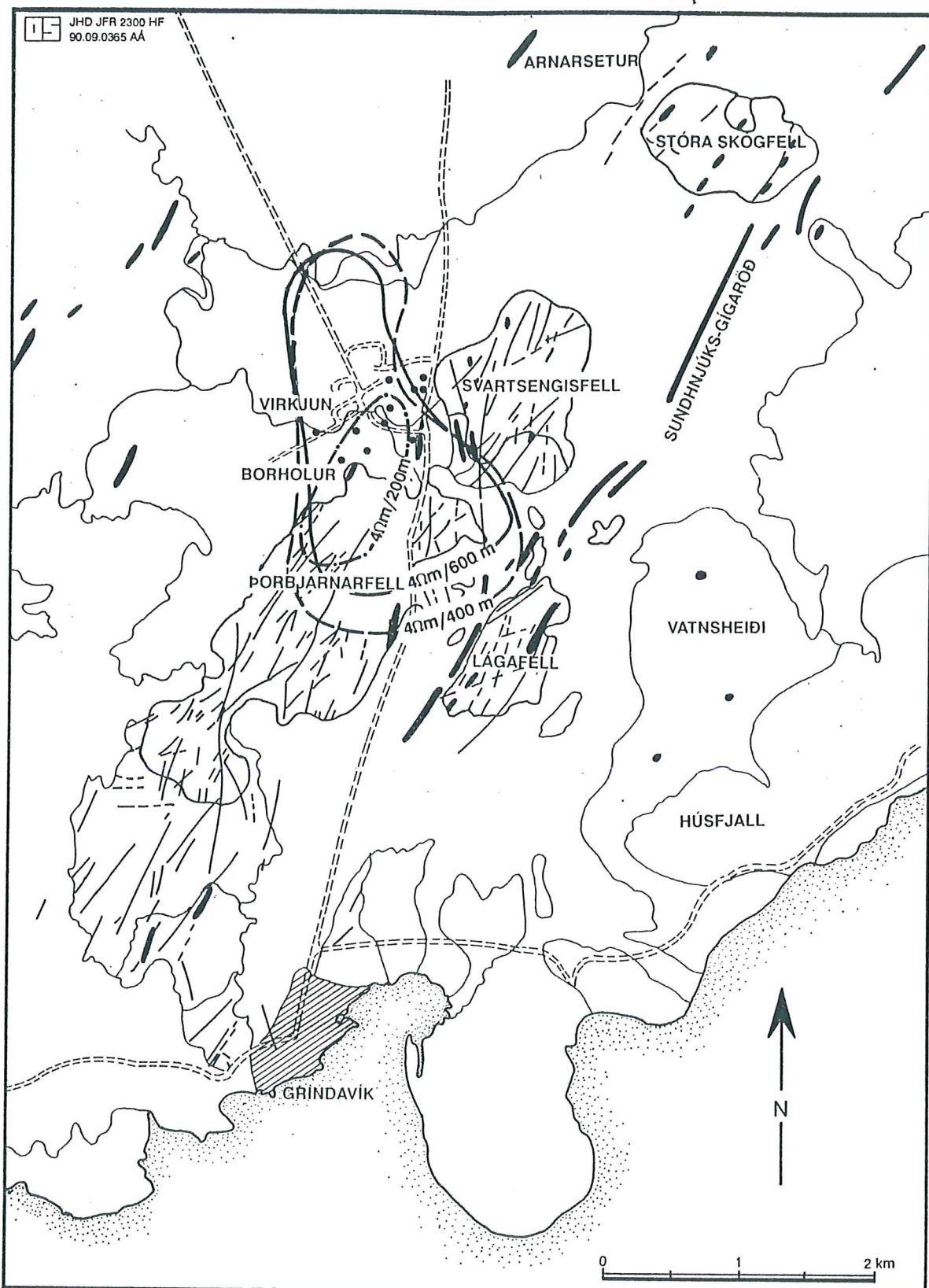
Mynd 4. Aflferlar háhitahola í Svartsengi, Eldvörpum og á Reykjanesi. Hámarksafköst mældust 180 kg/s. Holurnar í Svartsengi eru rekna við um 60 kg/s rennsli.<sup>3)</sup>



Mynd 5. Yfirlitstkort af utanverðum Reykjanesskaga.<sup>4)</sup>



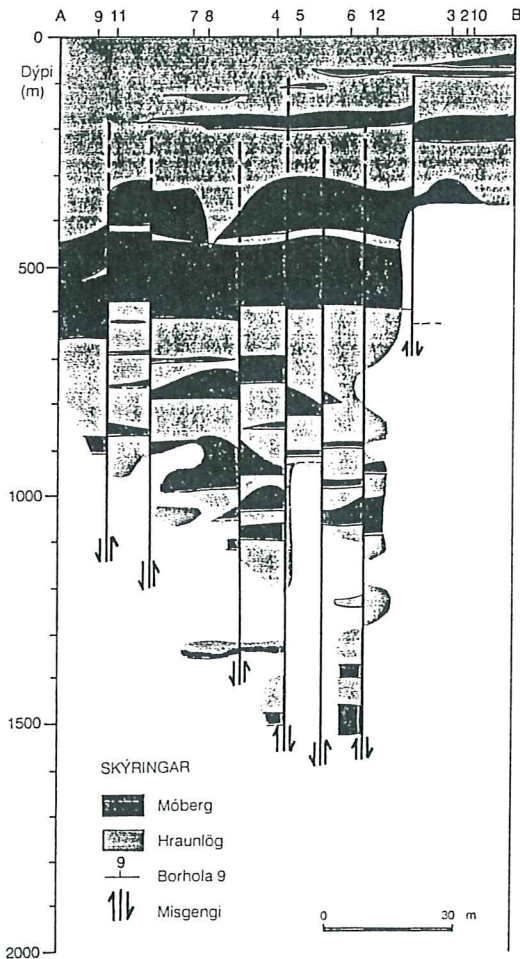
Mynd 6. Myndin sýnir helstu misgengin sem fundust þegar rannsökuð voru jarðlögin í borholnum, en þau eru hulin af ungum hraunlögum. Þar kemur fram áberandi NNV-SSA misgengi sem liggja sitt hvorum megin við holur 7 og 8. Þessi gögn benda mjög eindregið til að uppstreymi jarðhitakerfisins stjórnist (a.m.k. efstu 1000 m bergrunnsins) af NNV-SSA sprungum.<sup>5)</sup>



Mynd 7. Útlínur lágviönáms í Svartsengi á mismunandi dýpi fyrir 4 ohm metra. Myndin sýnir stefnur sprungu- og gosrása í nágrenni Svartsengis. Lágviönámssvæðið á 200 m dýpi liggur NA-SV eins og ríkjandi sprungustefna, en á 400 m og 600 m dýpi er stefnan NNV-SSA, eða í svipaða átt og sprungurnar sunnan háhitasvæðisins.<sup>5)</sup>

JHD JFR 2300 HF  
90.09.0353 AA

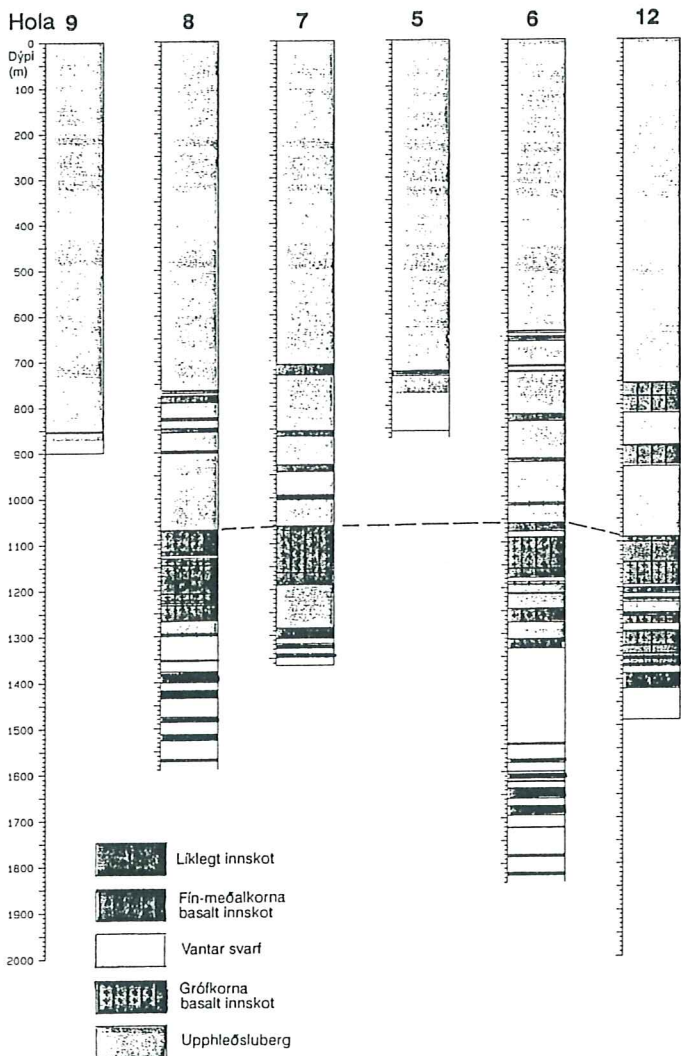
ÞVERSNIÐ JARDLAGA Í SVARTSENGI  
Gosberg



Mynd 8.

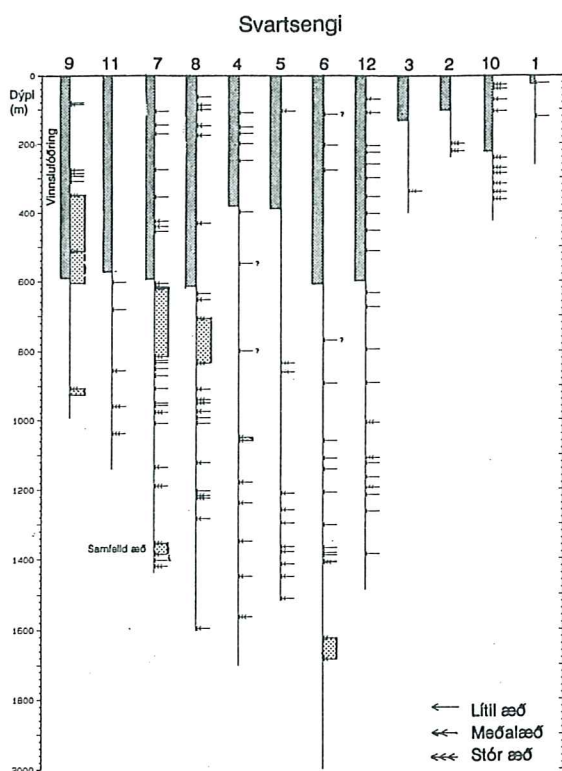
JHD JFR 2300 HF  
90.09.0359 ÅÅ

SVARTSENGI  
Innskot í berggrunni

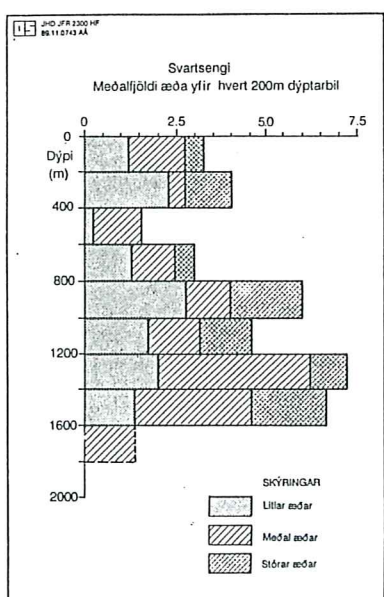


Mynd 9.

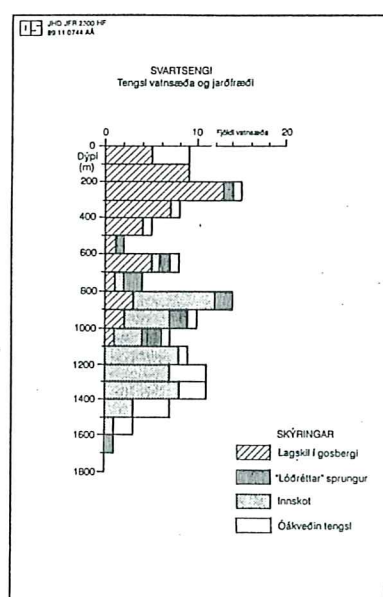
Myndir 8 og 9 sýna hvar borholurnar skera innskotsberg, en innskot er hraunkvika sem storknar undir yfirborði. Takið eftir að innskotin byrja ekki að koma fyrr en neðan 600 m dýpis og verða mjög algeng neðan 1000 m dýpis. Flestar vatnsæðar tengjast þessum innskotum og veldur það góðum tengslum á milli hola.<sup>5)</sup>



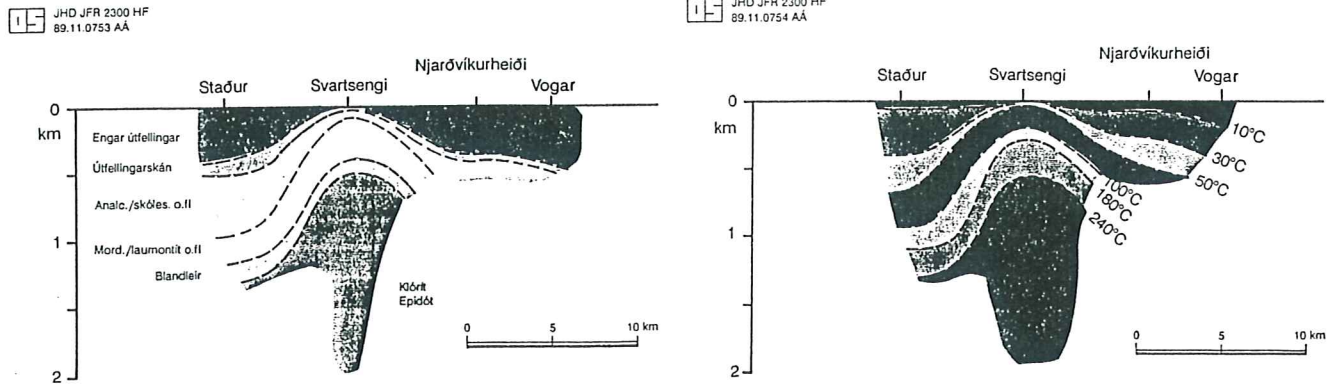
Mynd 10. Myndin sýnir dýpið á þær vatnsæðar sem borholurnar skera. <sup>5)</sup>



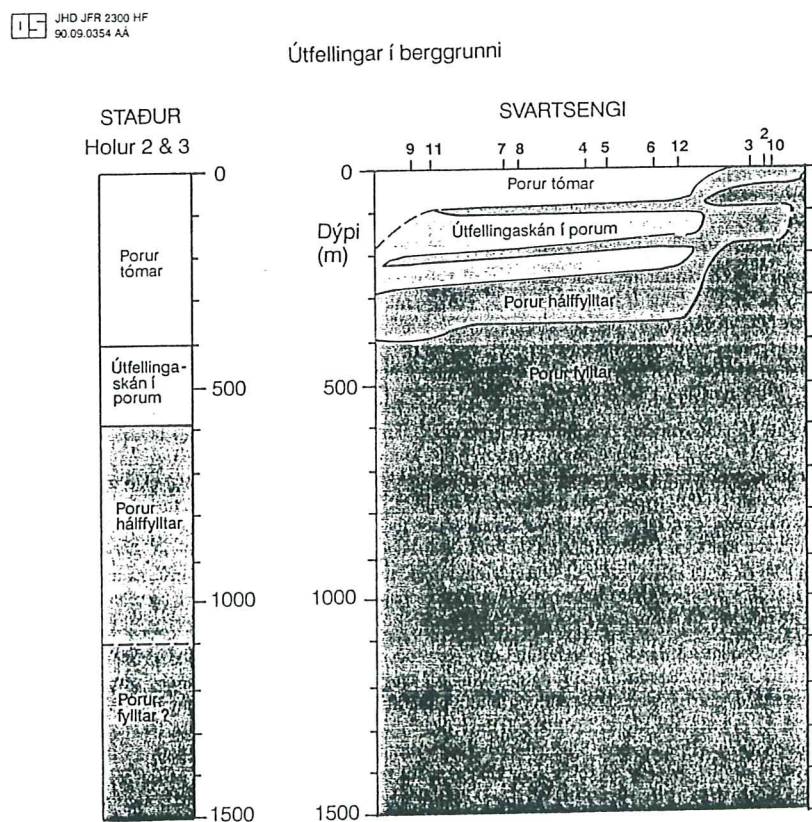
Mynd 11. Fjöldi vatnsæða og stærð þeirra breytist með dýpi. Æðarnar ofan 400 m dýpis teljast flestar til volgs grunnvatnskerfisins ofan jarðhitakerfisins, en jarðhitakerfið er neðan 600 m dýpis. Á skilunum á milli kerfanna eru vatnsæðar mjög fáar, sem bendir til að jarðhitakerfið sé tiltölulega vel einangrað frá grunnvatnskerfinu fyrir ofan.



Mynd 12. Myndin sýnir hvernig vatnsæðarnar tengjast jarðfræði berggrunnsins. Sérstaklega er athyglisvert að neðan 800 m dýpis tengjast vatnsæðarnar helst innskotsbergi. <sup>5)</sup>



Mynd 13. Myndir 13 a og 13 b eru þversnið yfir Reykjanes og sýnir dreifingu útfellinga í berggrunnum og hitadreifingu.<sup>5)</sup>

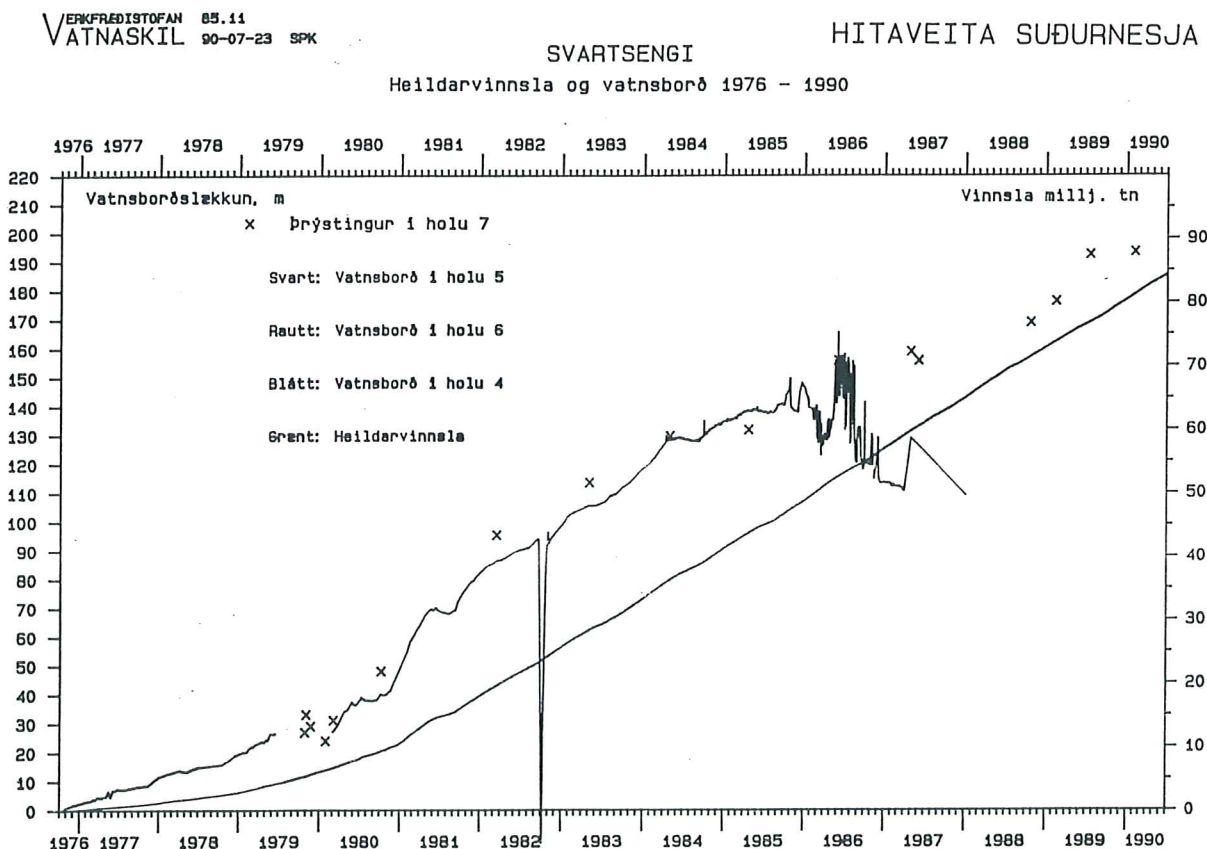


Mynd 14. Myndin sýnir að hve miklu leyti porurnar í bergen eru fylltar af útfellingum, en útfellingarnar minnka þann vatnsforða, sem unnt er að geyma í bergen. Minni vatnsforði er í fylltum porum innan háhitakerfisins en utan þess.<sup>5)</sup>

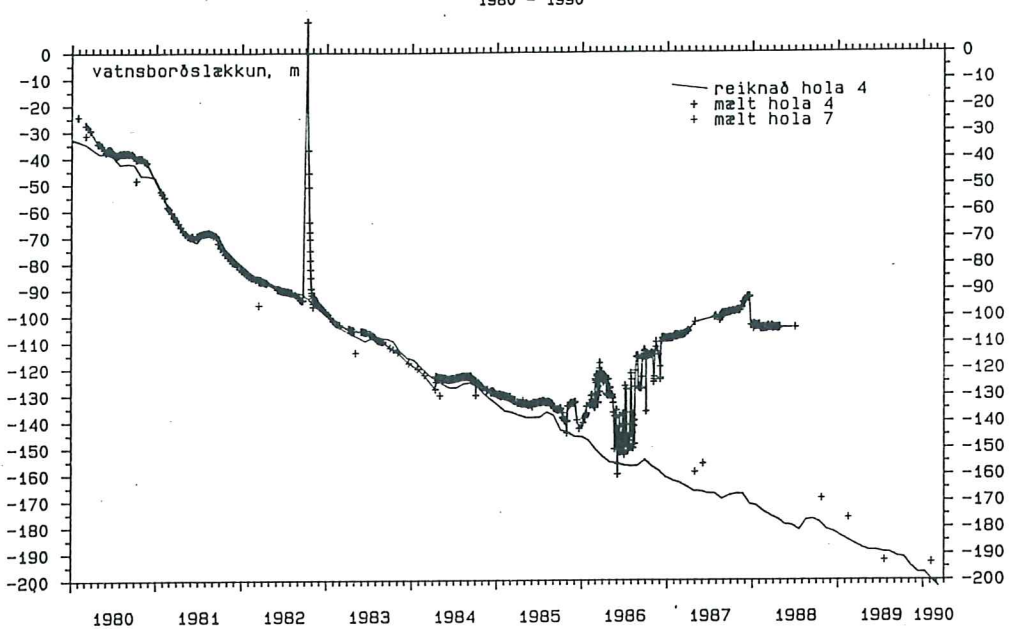
Ár	Vinnsla millj.tonn	Heildarvinnsla í árslok millj.tonn	Meðalvinnsla kg/s
1976	0,21	0,21	26,4
1977	1,07	1,28	33,9
1978	1,63	2,91	51,7
1979	3,19	6,10	101,2
1980	4,30	10,44	136,0
1981	7,48	17,92	237,2
1982	7,58	25,50	240,4
1983	7,60	33,10	241,0
1984	7,90	41,00	249,8
1985	7,75	78,75	245,8
1986	8,24	56,99	261,3
1987	8,00	64,99	253,7
1988	8,39	73,38	266,0
1989*	4,42	77,80	282,6

\* Til 1.júlí 1989.

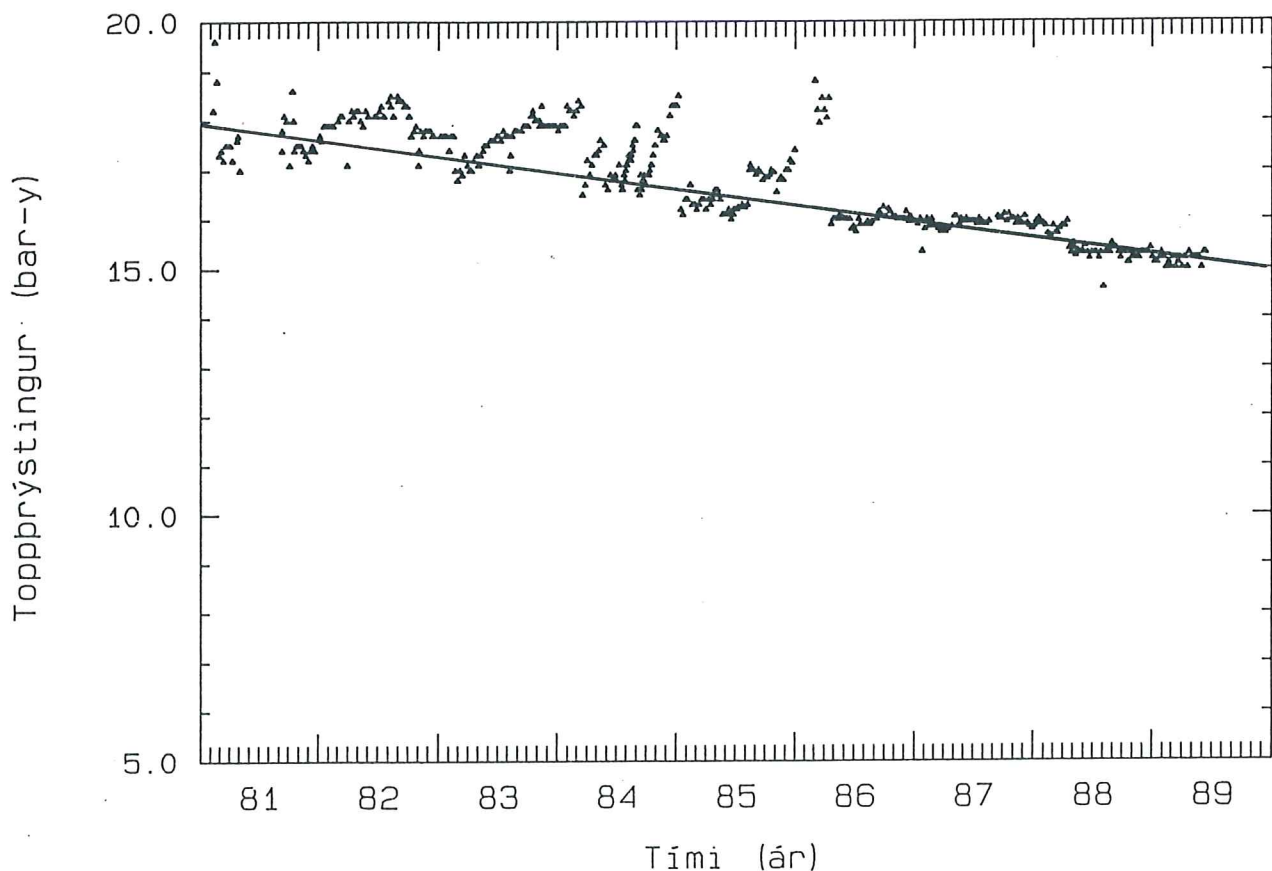
Mynd 15. Taflan sýnir árlegt vatnsnám frá því vinnslan hófst haustið 1976.<sup>6)</sup>



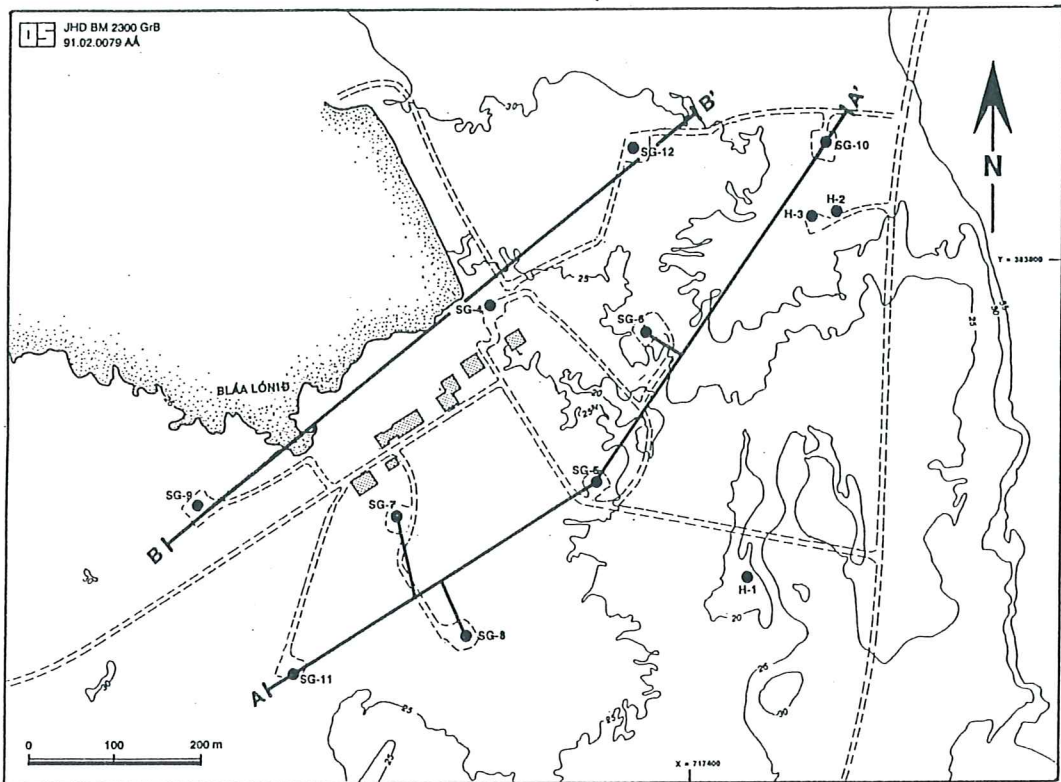
Mynd 16. Vatnsborð lækkar í takt við vinnsluna. Árið 1990 höfðu samtals 84 milljón tonn verið numin úr svæðin (ásinn til hægri) og niðurdráttur orðinn meir en 200 m (vinstri ásinn).<sup>7)</sup>



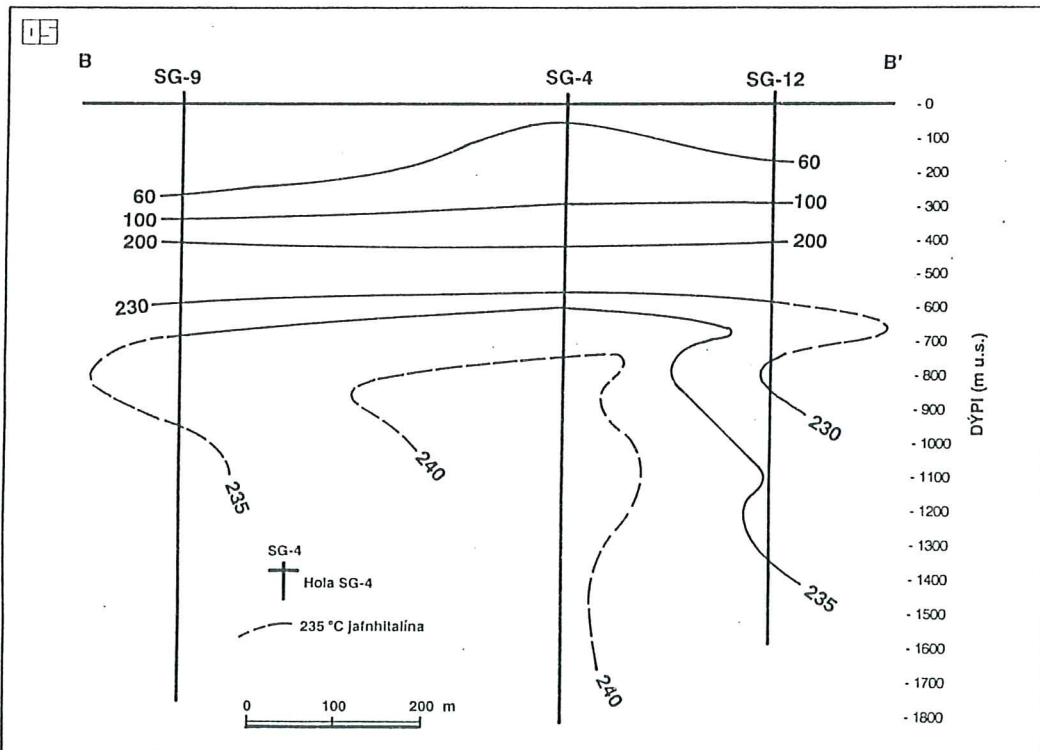
Mynd 17. Vatnsborðslækkun í Svartsengi er orðin rúmlega 200 m og er lækkandi.<sup>7)</sup>



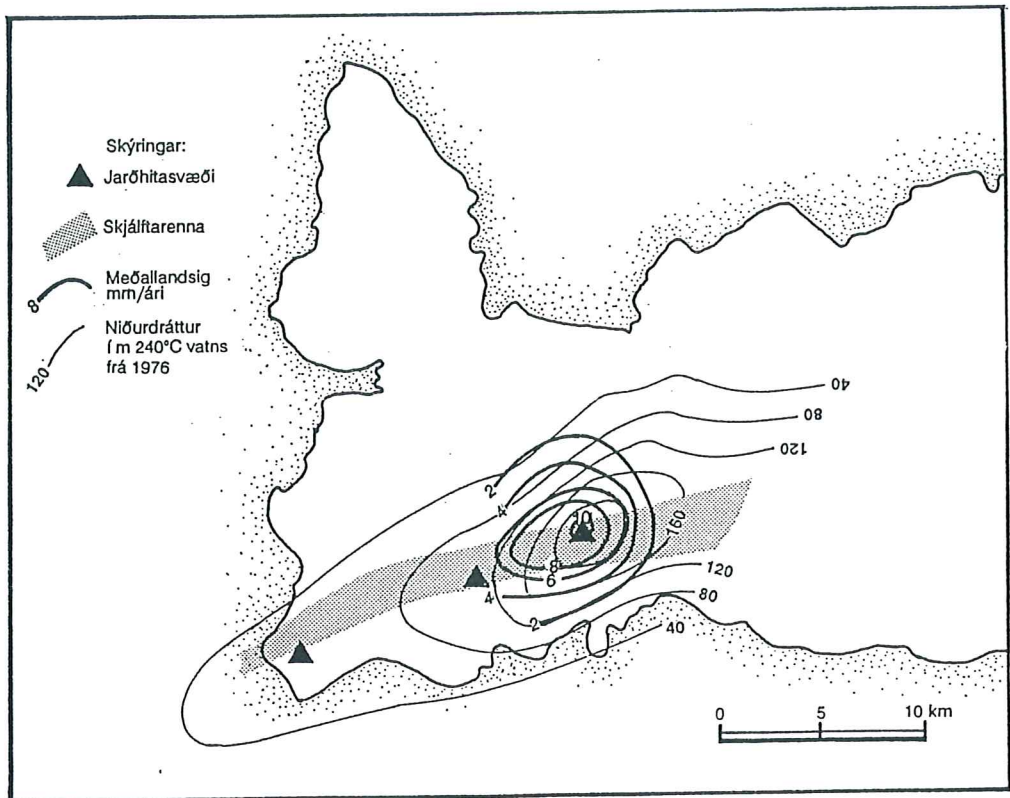
Mynd 18. Lækkun holutoppsþrýstings holu SG-7 nemur 0,3 börum á ári, sem orsakast af sífelldri aukningu niðurdráttar. Með sama áframhaldi mun holan verða úr leik eftir 20-30 ár, vegna ónógs topþrýstings (< 6 bar).<sup>2)</sup>



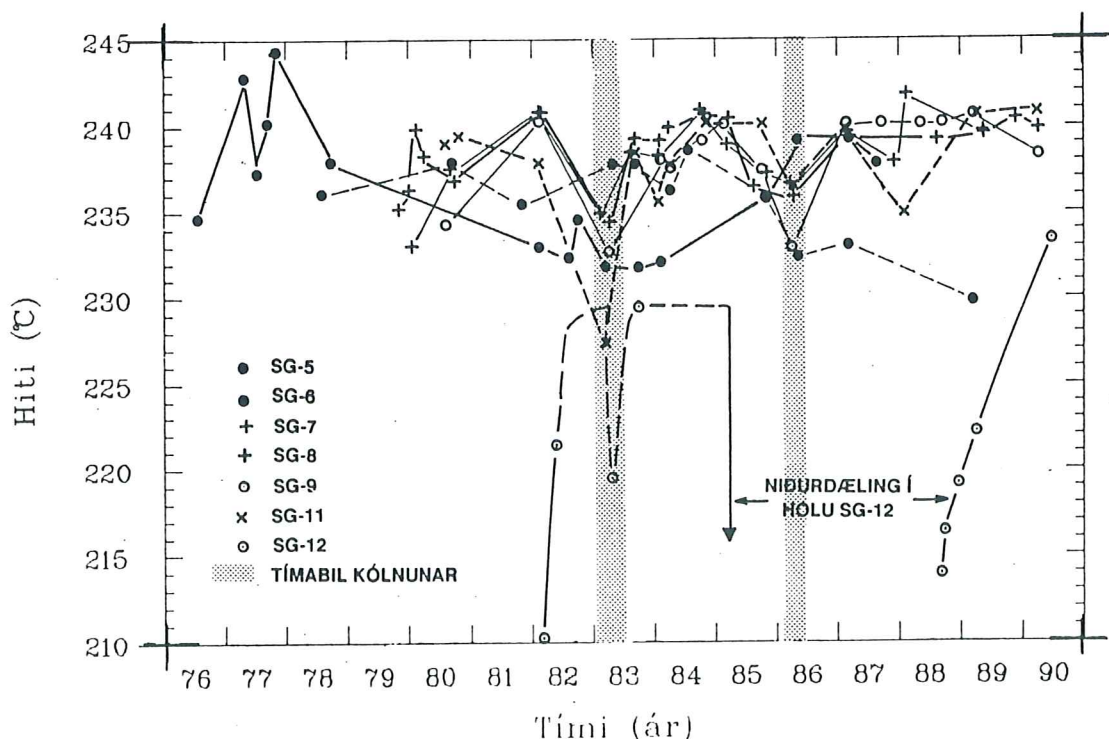
Mynd 19. Staðsetning borhola í Svartsengi. Mynd 20 sýnir snið B - B'.<sup>2)</sup>



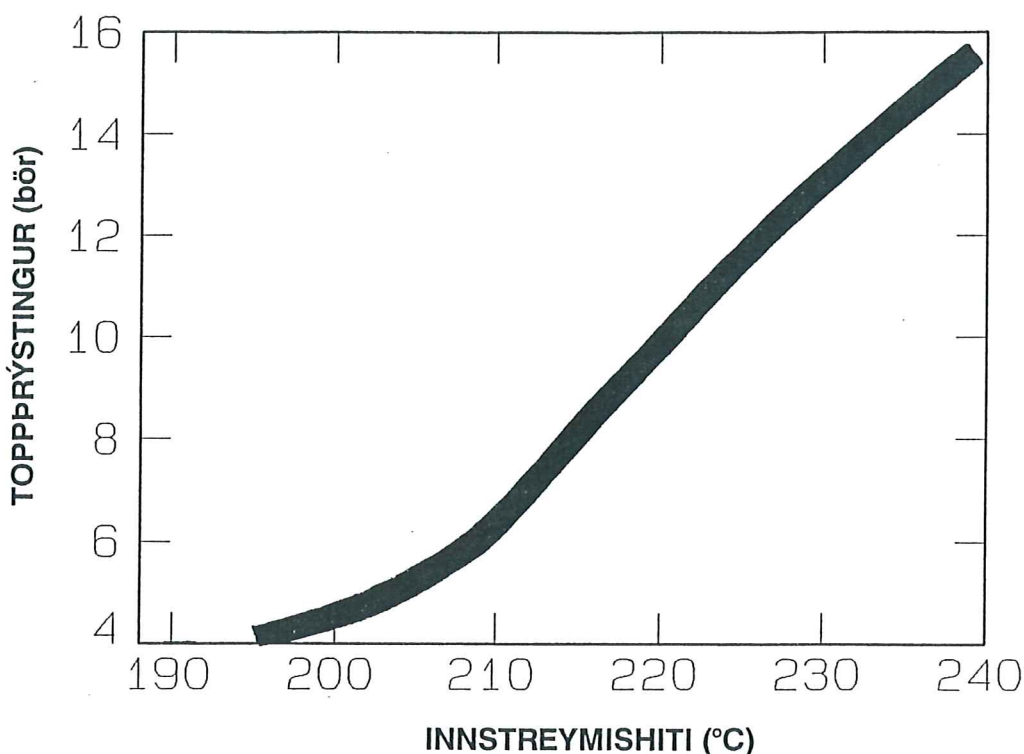
Mynd 20. Kerfisbundin skoðun 250 hitamælinga leiddi í ljós að daft hitahámark er um mitt vinnslusvæðið. Þetta hámark er væntanlega uppstreymisrás svæðisins. Er hæstur hiti á línu sem liggur til suðurs um holu SG-4. Einnig komu fram staðbundin hitahámörk í holum kringum 700 m dýpi og á 1100-1300 m dýpi. Þessi hitahámörk falla saman við góðar æðar á þessum dýptarbilum.<sup>2)</sup>



Mynd 21. Líkanrekningar spá víðtækum niðurdrætti umhverfis holurnar í Svartsengi. Þrýstimælingar í Eldvörpum staðfesta þá niðurstöðu. Áhrif niðurdráttar koma einnig fram í landhæðarbreytingum. Þannig hefur vinnslan í Svartsengi myndað u.p.b. 15 cm djúpa skál landsigs sem teygir sig til VSV frá holunum. Lítið landsig til austurs bendir til að austurjaðar svæðisins sé all skarpur og nálægt Svartsengi.<sup>2)</sup>



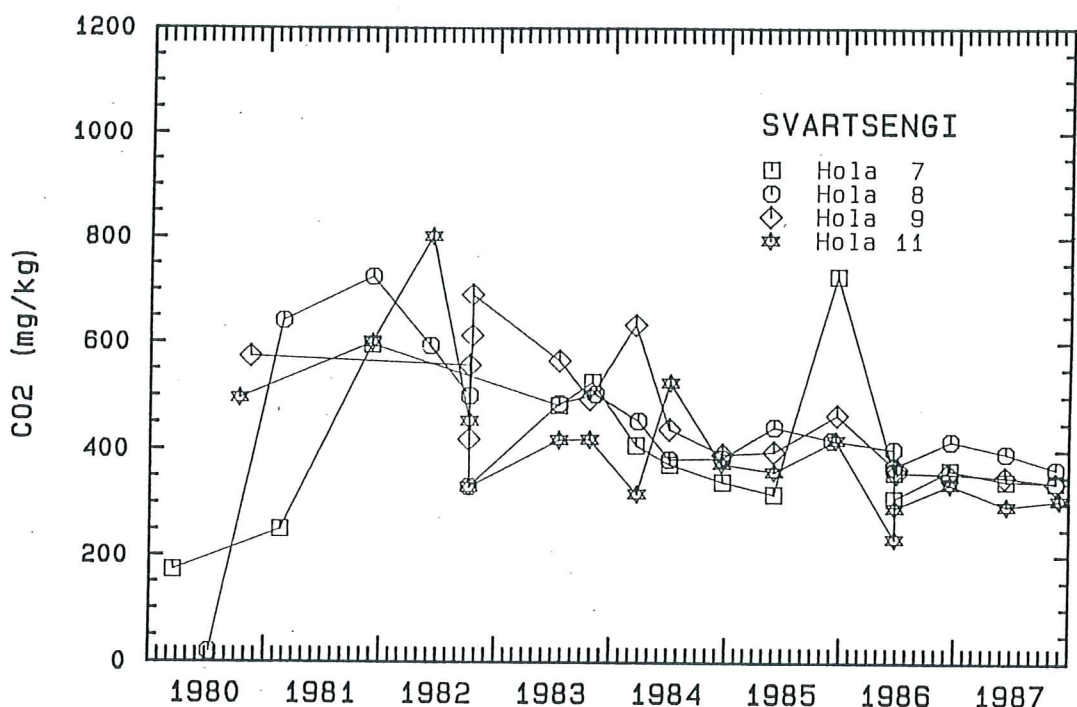
Mynd 22. Myndin sýnir hitasögu allra holna í Svartsengi. Á myndinni eru auðkennd tvö tímabil mikillar kólnunar, þegar hitinn féll um 13 °C og holutoppsþrýstingur lækkaði verulega. Kalda vatnið braust inn um æðakafla á 1000-1300 m dýpi og kólnuðu holur 9,11 og 12 mest, enda eru þær í mestri fjarlægð frá uppstreymingu við holu 4.<sup>2)</sup>



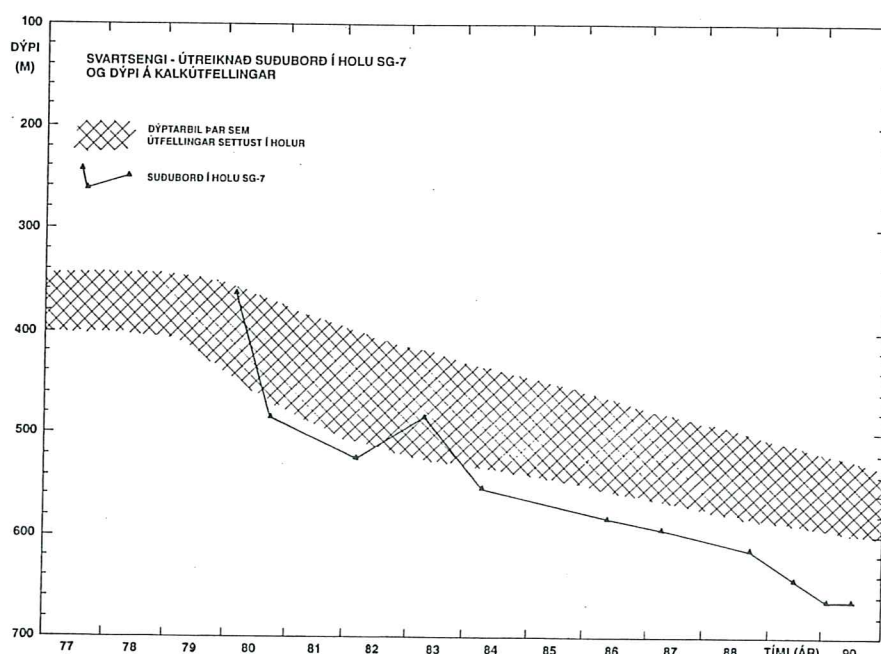
Mynd 23. Mesta hætta aukins niðurdráttar í Svartsengi er kólnun vegna innrásar kaldara vatns inn í sprungunet jarðhitakerfisins. Ljóst er að kæling niður fyrir 210 °C mun fella vinnslubrýsting holanna niður fyrir þrýsting sem nauðsynlegur er á gufuveitu (6-7 bar) og gera þær ónothæfar fyrir orkuverið í núverandi mynd.<sup>2)</sup>

Efni	Styrkur, mg/kg
Kísill ( $\text{SiO}_2$ )	430
Klóríð (Cl)	12700
Natríum (Na)	6400
Kalíum (K)	1060
Kalsíum (Ca)	985
Súlfat ( $\text{SO}_4$ )	30
Magnesíum (Mg)	0.8
Koldíoxíð ( $\text{CO}_2$ )	400
Brennisteinsvetni ( $\text{H}_2\text{S}$ )	6

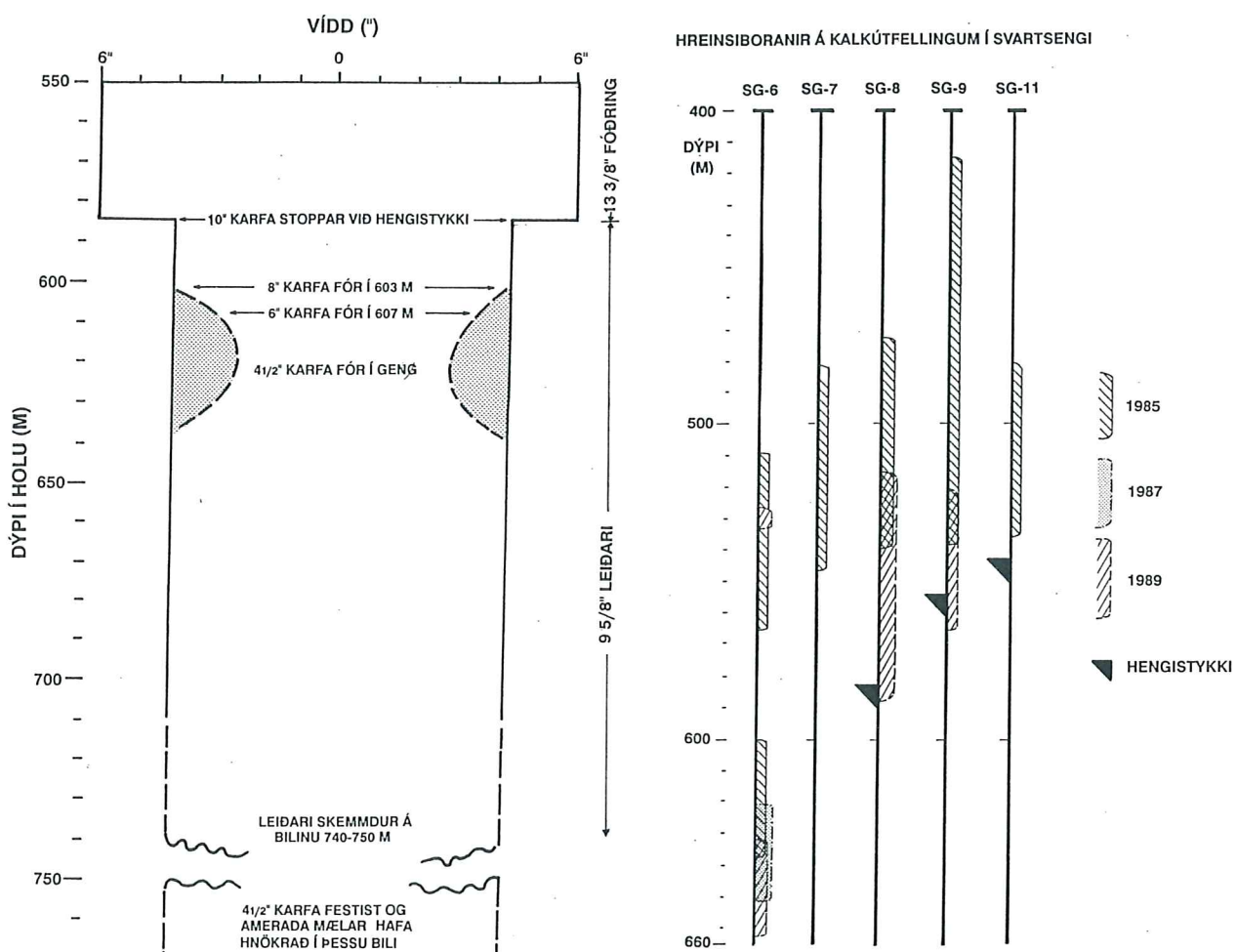
Mynd 24. Taflan sýnir efnasamsetningu jarðhitavökva í Svartsengi.<sup>3)</sup>



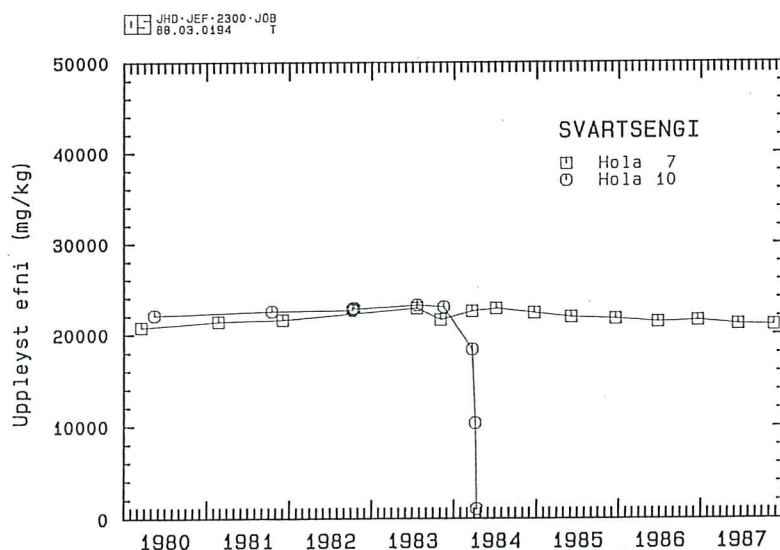
Mynd 25. Myndin sýnir hvernig styrkur koldíoxíðs,  $\text{CO}_2$ , í holum í Svartsengi hefur smátt og smátt farið minnkandi, en gasið er að langmestum hluta (96%) koldíoxíð. Ástæða minnkunarinnar er sú að vökvinn í jarðhitageymínunum sýður. Við suðuna losnar gas úr vökvunum, og mest af þessu gasi skilar sér út um holu SG-10, en hún virkar eins og einskonar gasháfur á svæðið.<sup>8)</sup>



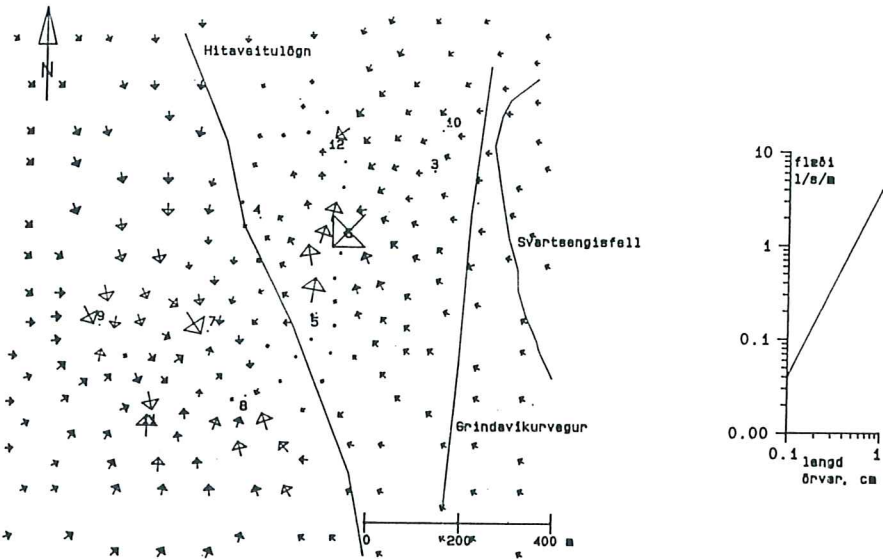
Mynd 26. Niðurdrátturinn veldur því að suðuborðið færist sífellt neðar í holunum. Kalútfellingin sem stíflar holurnar, verður í suðuborinu sem nú er á 650 m dýpi. Kalktappinn hefur nú færst úr vinnslufóðringunni í leiðarann. Þar er minna pláss fyrir kalksöfnun og mikil hætta á að leiðarinn sem er ósteyptur skaddist við hnjasík sem verður við hreinsiborun (sbr. SG-8). Einnig er hætta á að raufarnar stíflist.<sup>2)</sup>



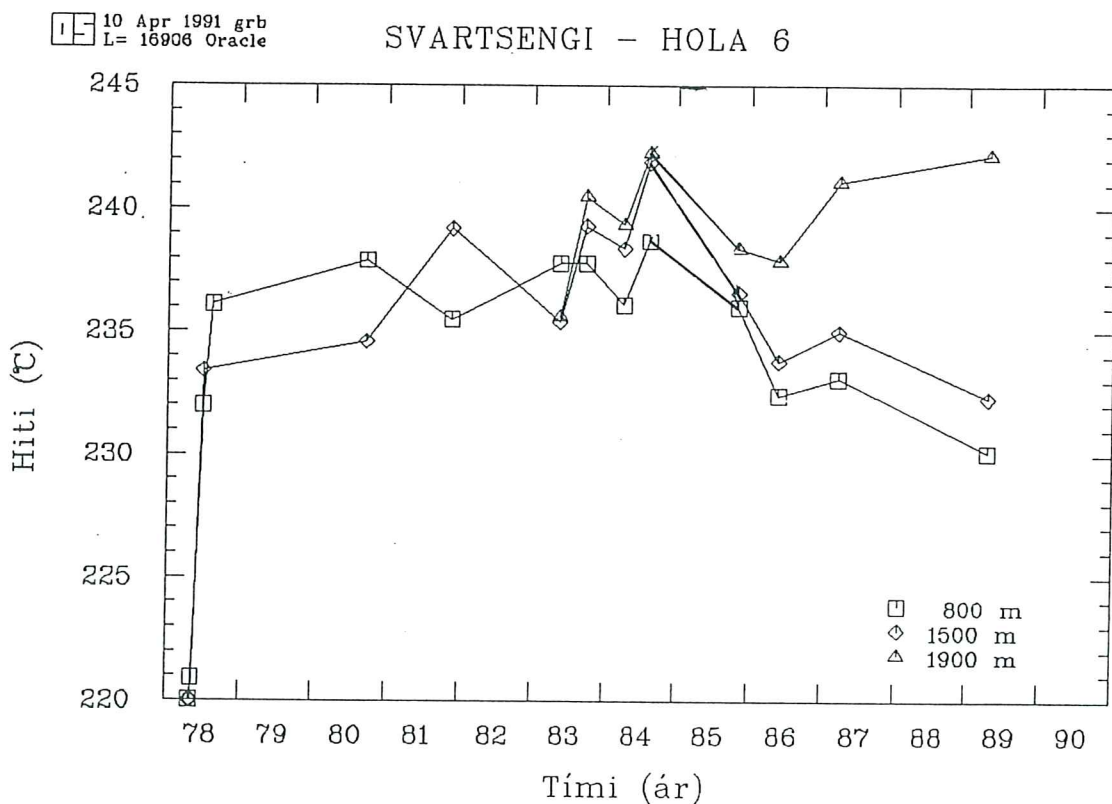
Mynd 27. Kalktappinn er kominn niður í leiðara holu SG-8 og hefur leiðarinn laskast, líklega í hreinsiborun. Myndin til hægri sýnir tilfærslu kalktappans og það dýptarbil sem þarf að hreinsa á tveggja ára fresti.<sup>2)</sup>



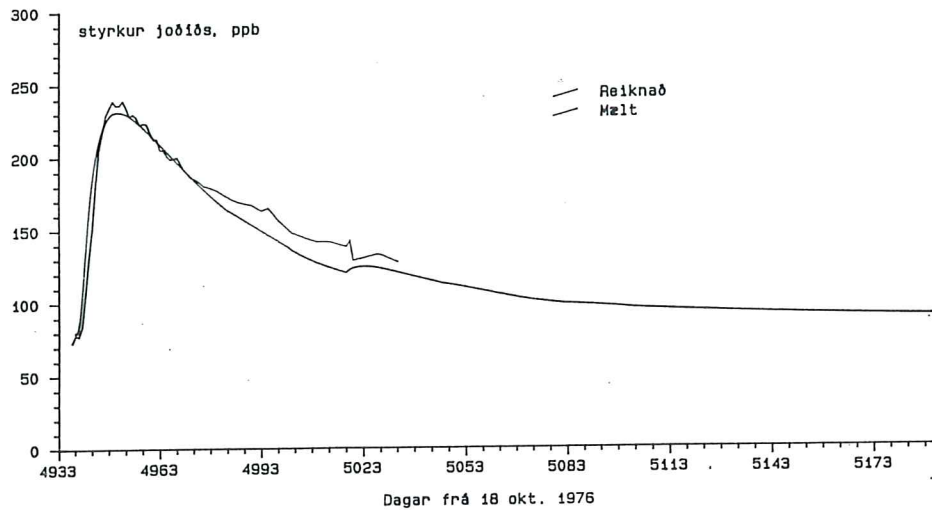
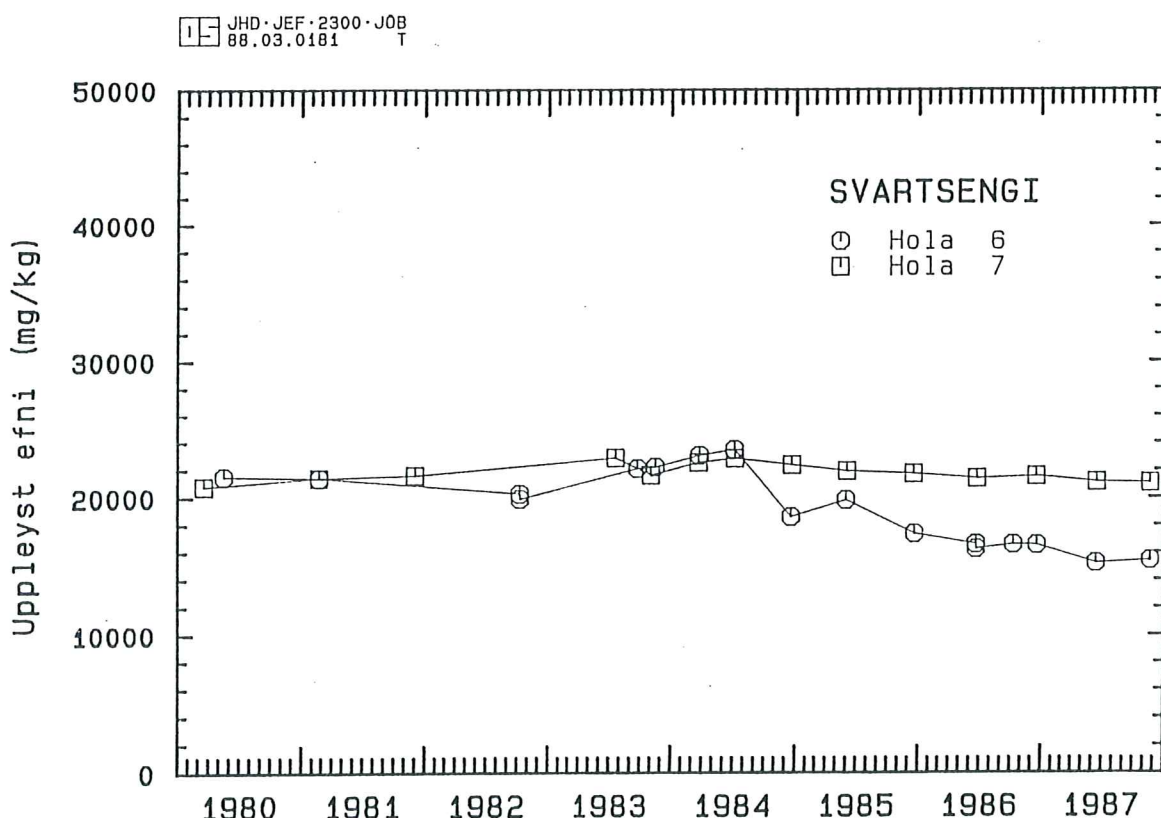
Mynd 28. Höla SG-10 þornaði á tiltölulega skömmum tíma á útmánuðum 1984. Á fáum vikum minnkaði styrkur allra uppleystra steinefna niður í brot af venjulegu gildi, áður en vatnið hvarf með öllu. Gufan sem nú berst úr holunni er aftur á móti mjög gasrík (5%) og kemur um 90% af öllu gasi í Svartsengi úr holunni (0,9 kg/s).<sup>8)</sup>



Mynd 29. Vinnsla í holum í Svartsengi í upphafi niðurdælingartilraunar í apríl 1990. Örvarnar sýna straumstefnuna og flæði.<sup>7)</sup>



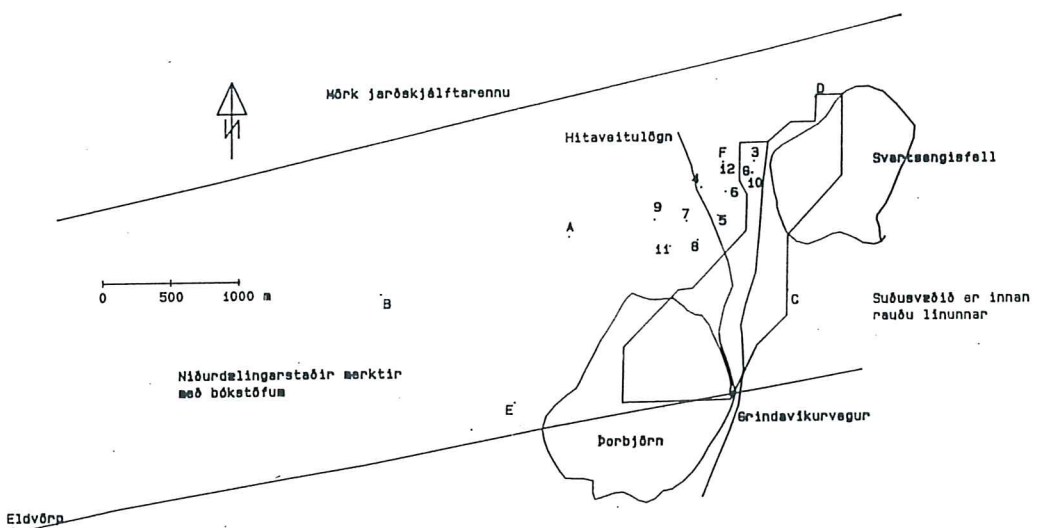
Mynd 30. Dæling á 70°C stiga heitu vatni í holu SG-12 olli 6-8 °C kólnun vatnsæðar holu SG-6. Æðin er á 1600 m dýpi og kólnar holan ofan æðarinnar frá upphafi niðudælingarinnar árið 1984, meðan þétti kaflinn undir er jafnheitur eða lítillega hitnanadi.<sup>2)</sup>

SVARTSENGI  
Styrkur joðiða í holu 6  
april - des 1990Mynd 31. Efni berast á nokkrum dögum milli hola í Svartsengi.<sup>7)</sup>Mynd 32. Styrkur uppleystra efna í vökva úr holu SG-6 minnkaði eftir að niðurdæling ferskvatns í holu 12 hófst. Þynningaráhrif ferskvatnsins eru greininleg, einkum þegar hafður er samanburður við holu 7.<sup>8)</sup>

VEKFREDISTOFAN 8702  
VATNASKIL 89-05-11 8lh

SVARTSENGI  
Staðsetning niðurdælingar

ORKUSTOFNUN

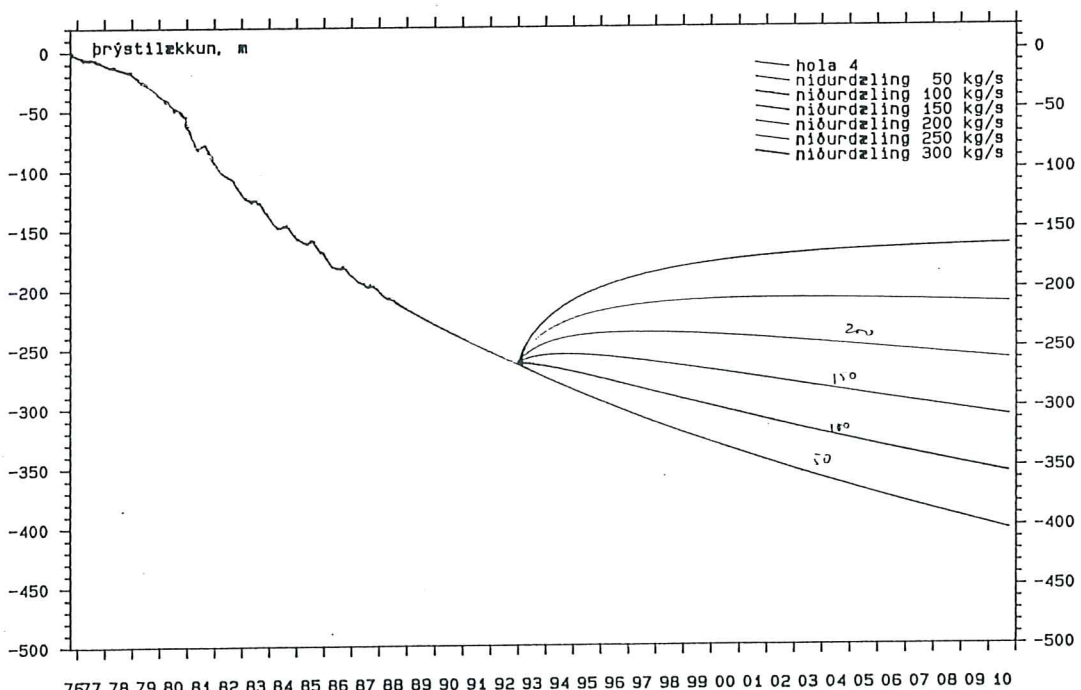


Mynd 33. Hugsanlegir staðir til niðurdælingar í framtíðinni sem líkanreikningar voru gerðir fyrir.<sup>9)</sup>

VEKFREDISTOFAN 8702  
VATNASKIL 89-05-11 8lh

SVARTSENGI  
Vatnsborð í holu 4 1976 - 2010  
niðurdælingarstaður A frá 1993

ORKUSTOFNUN



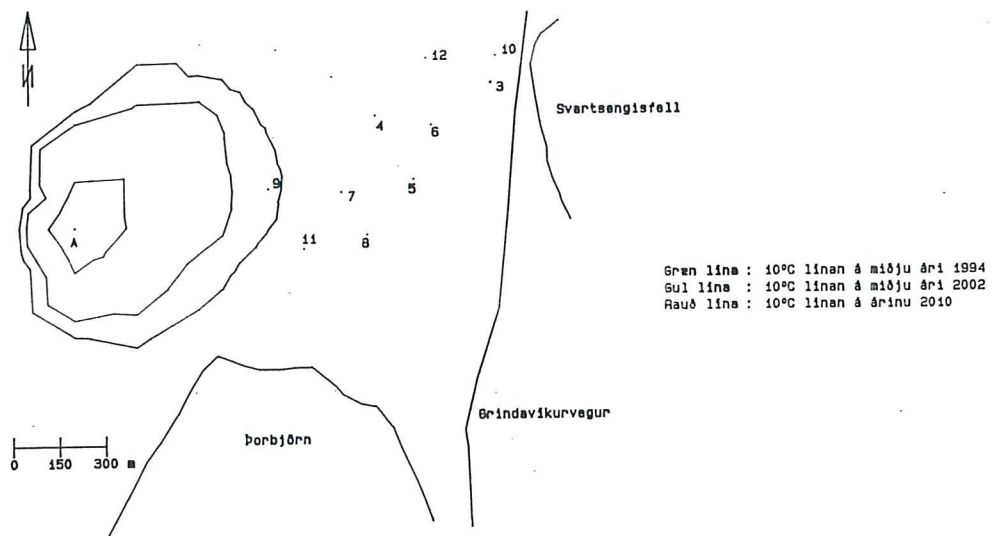
Mynd 34. Óbreytt vatnsborð krefst 200 kg/s niðurdælingar.<sup>9)</sup>

EPIKFREDISTOFAN 6702  
VATNASKIL 89-05-11 eh

ORKUSTOFNUN

SVARTSENGI

Reiknuð færsla  $10^{\circ}\text{C}$  kólnunar  
linunnar vegna  $200 \text{ kg/s}$  niður-  
dælingar af  $70^{\circ}\text{C}$  vatni á stað A



Mynd 35. Árið 2010 er  $10^{\circ}\text{C}$  kólnunar farið að gæta á vinnslusvæðinu í Svartsengi. <sup>9)</sup>

## HEIMILDIR

1. Lúðvík S. Georgsson og Helga Tuliníus 1983: *Viðnámsmælingar á utanverðum Reykjanesskaga 1981 og 1982*. Orkustofnun, OS-83049/JHD-09, 70 s.
2. Grímur Björnsson og Benedikt Steingrímsson, 1991: *Hiti og þrýstingur í jarðhitakerfinu í Svartsengi. Upphafsástand, vinnslubreytingar og áhrif þeirra á borholur*. Orkustofnun, í útgáfu.
3. Upplýsingar lesnar úr Oracle gagnasafnskerfi Orkustofnunar.
4. Haukur Jóhannesson 1989: *Jarðfræði Reykjanesskaga I: Náttúrufar á Sunnanverðum Reykjanesskaga*, ritstjóri Kristbjörn Eyjólfsson.
5. Hjalti Fransson 1990: *Svartsengi - Jarðfræðilíkan af háhitakerfi og umhverfi þess*. Orkustofnun, OS-90050/JHD-08.
6. Vatnaskil 1989: *Svartsengi - Vinnslueftirlit júlí 1988 - júlí 1989*. Verkfræðistofan Vatnaskil/Orkustofnun, OS-89062/JHD-09.
7. Vatnaskil 1991: *Niðurdælingartilraun í Svartsengi 1990*. Verkfræðistofan Vatnaskil/Orkustofnun, í útgáfu.
8. Jón Örn Bjarnason 1988: *Svartsengi - Efnaeftirlit 1980 - 1987*. Orkustofnun, OS-88001/JHD-01
9. Vatnaskil 1989: *Svartsengi - Reiknilíkan af jarðhitakerfinu*. Verkfræðistofan Vatnaskil/Orkustofnun, OS-89031/JHD-05.